УДК 544.58:544.344:544.723

СТАТИКА СОРБЦИИ КИСЛОРОДНЫХ АНИОНОВ Cr(VI), $M_0(VI)$, W(VI), Se(IV) НАНОСТРУКТУРИРОВАННЫМ КОМПОЗИТОМ $Al_2O_3 \parallel C$

© 2024 г. Е. В. Поляков*, В. Н. Красильников, И. В. Волков, А. А. Иошин

Институт химии твердого тела Уральского отделения РАН, 620108, Екатеринбург, ул. Первомайская, д. 91
*e-mail: polvakov@ihim.uran.ru

Получена 20.06.2024, после доработки 20.06.2024, принята к публикации 12.08.2024

Методами термодинамического моделирования, сорбционной диагностики, анализа зета-потенциала частиц и спектрофотометрии раствора проанализированы равновесные условия сорбционного взаимодействия группы кислородных анионов CrO_4^{2-} , MoO_4^{2-} , VOO_4^{2-} , SeO_3^{2-} в области химической устойчивости композита $\mathrm{Al}_2\mathrm{O}_3\|\mathrm{C}$. Показано, что изотермы сорбции анионов соответствуют модели Ленгмюра для моноэнергетического сорбента. Область Генри наблюдается при концентрациях менее 1 мкмоль/л. Согласно установленному механизму поверхностного комплексообразования, величина константы протонирования (K_1) анионов в исследованном диапазоне pH определяет сорбционную активность композита к этим анионам. Это объясняет найденную корреляцию между соотношением параметров кислотно-основных центров $\mathrm{Al}_2\mathrm{O}_3$, $\mathrm{Al}_2\mathrm{O}_3$ и $\mathrm{Al}_2\mathrm{O}_3$ композита $\mathrm{Al}_2\mathrm{O}_3$ и константой протонирования аниона $\mathrm{Al}_1\mathrm{O}_3$. Показано, что композит $\mathrm{Al}_2\mathrm{O}_3$ проявляет свойства сорбента коллективного действия, концентрируя из разбавленных растворов как катионы $\mathrm{d}_2\mathrm{O}_3$ так и кислородные анионы $\mathrm{d}_2\mathrm{O}_3$ евеличиной lg_4 [мл/г] > 4.

Ключевые слова: $Al_2O_3\|C$, композит, анионы CrO_4^{2-} , MoO_4^{2-} , WO_4^{2-} , SeO_3^{2-} , сорбция, статика, кислотно-основные свойства, поверхностное комплексообразование.

DOI: 10.31857/S0033831124050081

ВВЕДЕНИЕ

Анионные формы радионуклидов, возникая в качестве химических продуктов деления и активации, существенно влияют на радиационную обстановку действующих АЭС. В растворах теплоносителя фиксируются анионные формы радионуклидов 93,99m Mo, 187 W, 99m Tc. В газово-аэрозольных выбросах АЭС присутствуют анион-образующие формы таких радиотоксичных элементов, как 129,131 I, 95 Nb, 99 Mo [1]. Радионуклиды 99 Tc и 79 Se, обнаруженные в высокоактивных радиоактивных отходах в качестве продуктов деления ²³⁵U, обладают высокой радиоактивностью, большим периодом полураспада, слабой адсорбцией и повышенной миграцией в минеральных средах. Радионуклиды Мо представляет особый интерес в связи с тем, что $^{99}{\rm Mo}$ используется в качестве прекурсора $^{99m}{\rm Tc}$, а $^{93}{\rm Mo}$ является продуктом активации отработавшего ядерного топлива [1, 2]. На выделение этих радионуклидов обращают внимание при оценке безопасности геологического захоронения высокоактивных радиоактивных отходов [3]. Среди радионуклидов, рекомендованных МАГАТЭ для применения в качестве радиофармпрепаратов, значительное место занимают анион-образующие радионуклиды — 71 As(71 Ge), 71 Ge, 77 Br, 80m Br, 103 Ru(103m Rh), 119 Sb, 119m Te(119 Sb) [4]. Некоторые элементы, такие как вольфрам в форме вольфрамат-ионов, обладают высокой токсичностью при попадании в почву и воду на уровне

микроконцентраций [5]. Извлечение этих элементов из водных растворов в форме анионов и их иммобилизация требуют использования сорбентов с высокой специфичностью к анионам в реакциях соосаждения, ионного обмена, поверхностного комплексообразования, экстракции [6].

К сорбентам широкого спектра действия, способным извлекать группы радионуклидов-анионов, относят активированные угли [7]. Созданные в качестве универсальных адсорбентов газов, активированные угли используют в качестве структурного мотива во многих нанодисперсных сорбентах очистки водных растворов от ионов тяжелых металлов: Cr(VI), Pb(II), Cd(II), Ni(II), Eu(III), Cm(III), U(VI) и др. [8-13]. Специальные сорта активированного угля обнаруживают сильное сродство к анионам ⁷⁵Se, ²⁹I, ⁹⁹Tc, ⁷⁹Se, ³⁶Cl, ⁹³Мо, причем наибольшим сродством обладают анионы Cr(VI) [14]. Эффективными сорбентами для анионов SeO_3^{2-} , SeO_4^{2-} , CrO_4^{2-} , AsO_4^{3-} являются оксигидраты Fe_2O_3 : nH_2O , Al_2O_3 : nH_2O [15], а ионы Cr(VI), Mo(VI), W(VI), IO_3^- , $S_2O_3^{2-}$ с высоким коэффициентом распределения сорбируются оксидами марганца(IV) [16]. Отмечается селективность в сорбции анионов разной валентности. Так, анионы SeO_3^{2-} адсорбируются многими оксидами d-, f-металлов сильнее, чем SeO₄². Анионы As(III) адсорбируются на оксиде железа слабее, чем As(V) [17]. Алюмосиликаты способны реагировать как с катионами, так и с анионами микроэлементов в растворах.

Их сорбционные свойства по отношению к анионным формам на порядки слабее в сравнении с катионами [18]. Тем не менее, алюмосиликаты и природные глины способны быть естественными сорбционными барьерами и регуляторами миграции анионных форм радионуклидов в водных растворах [19].

Большой интерес в ряду неорганических сорбционных материалов представляют оксилы алюминия благодаря своей высокой сорбционной специфичности (высоким коэффициентам распределения, K_d) к многозарядным ионам в растворах и своим амфотерным свойствам. Сорбенты на основе оксида алюминия применяют для выделения из растворов как катионов, так и анионов. Высокая удельная поверхность и сродство к анионам As(III.V), P(V), Se(IV.VI), F⁻, низкая себестоимость и простота применения делает оксид алюминия одним из привлекательных сорбентов в своем классе для выделения токсичных микроэлементов из водных сред [20], иммобилизашии делящихся и радиоактивных материалов для последующей долговременной выдержки [21]. В обзоре [22] изложены результаты исследования сорбентов на основе нанодисперсных форм оксида алюминия, оценен потенциал и перспективы их использования для очистки воды от различных загрязнителей, приводятся сведения о составе, условиях синтеза сорбентов и механизмах сорбции катионов и анионов. Авторы работы [22] подчеркивают отсутствие в настоящее время обобщающих представлений о реакционной способности оксида алюминия в нанодисперсном состоянии. Примеры использования ультрадисперсного оксида алюминия в качестве сорбента можно найти в работах [23-26].

Переход к созданию ультрадисперсных сорбционных материалов позволяет объединять сорбционные свойства графеноподобного углерода и оксида алюминия в одном композите [27–29]. Этот подход реализован в работах [30, 31], где представлен новый способ синтеза композитного материалов Al₂O₃||С. обладающий преимуществами технологической простоты, экономичности и возможностью масштабирования. Сорбционные характеристики такого композита по отношению к катионам лантанидов и актинидов показали существенные преимущества в сравнении с известными оксидными и углеродными сорбентами по величине K_d и диапазону рН использования композита при сорбции катионов [27-33]. С учетом литературных данных по анионной сорбционной функции оксидов алюминия и экономического интереса к сорбентам коллективного действия, способным извлекать как катионы, так и анионы радионуклидов/микроэлементов из технологических и природных водных растворов, интересно оценить характеристики композита $Al_2O_3||C$ в качестве сорбента анионных форм микроэлементов/радионуклидов. Цель исследования состояла в установлении методами статики сорбции равновесных сорбционных характеристик композита Al_2O_3 С по отношению к представительной группе

кислородных анионов Cr(VI), Mo(VI), W(VI), Se(IV) в области химической устойчивости композита, оценке механизма сорбции анионов и перспектив применения данного композита в качестве сорбента коллективного действия для дезактивации водных сред от токсичных микроэлементов/радионуклидов.

ЭКСПЕРИМЕНТАЛЬНАЯ ЧАСТЬ

Синтез композита Al₂O₃||С осуществляли термическим разложением прекурсора — продукта термообработки раствора нитрата алюминия $Al(NO_3)_3 \cdot 9H_2O$ в этиленгликоле [30, 31]. Полученный раствор нагревали при 120°C до образования сначала вязкой массы, а затем белого порошка прекурсора. Композит общего состава АІ₂О₃||С получали нагревом прекурсора в атмосфере гелия при 700°C в течение часа. Согласно данным элементного и термогравиметрического анализа, полученный композит содержит 23.6 мас% свободного углерода. По данным сканирующей электронной микроскопии, продукт состоял из сферических агрегатов с размером 100-150 нм. Агрегаты собраны из однородных частиц без выраженных границ раздела фаз [32]. Удельная поверхность синтезированного композита составляла $40.0 \text{ m}^2/\Gamma$ (БЭТ), кумулятивный объем пор с диаметром от 17.0 до 3000.0 Å - 0.37 см³/г, средний размер пор по данным БЭТ -401 Å, что характерно для мезопористых сорбентов.

Статику и кинетику сорбции анионов Cr(VI), Mo(VI), W(VI), Se(IV) изучали на образцах рент-геноаморфного композита, нагретого в атмосфере гелия до 700°С в течение часа. В экспериментах варьировали рН и равновесную концентрацию аниона в растворе. Зета-потенциал композита в суспензии раствора при различных значениях рН измеряли методом лазерного допплеровского электрофореза на анализаторе Zetasizer Nano ZS (Malvern Panalytical Ltd.).

Сорбционную активность синтезированного материала исследовали методом ограниченного объема по отношению к выбранной группе анионов, химические свойства которых позволяли моделировать условия выделения микроколичеств ионов в радиоактивных технологических и природных растворах низкой активности. Использовали деионизированную воду, поученную на установке Millipore Simplicity. Электролитом служил раствор 0.01 моль/л аналитически чистого NaCl. Выбор рабочего диапазона рН при исследовании сорбции полностью определялся данными по растворимости сорбента [30, 32]. Рабочие растворы с концентрацией элемента 100 мг/л из ГСО готовили внесением в мерную колбу объемом 50 мл аликвоты 5 мл ГСО 7340-96 для Se(IV), ГСО 7834-2000 для Cr(VI), ГСО 9117-2008 для W(VI) и ГСО 7768-2000 для Mo(VI). Затем доводили раствор до метки дистиллированной водой при перемешивании. В стеклянный стакан объемом 200 мл вносили

67 мл 0.01 моль/л NaCl, 3 мл рабочего раствора с концентрацией определяемого элемента 100 мг/л. При скорости перемешивания на магнитной мешалке 500 1/мин в исследуемых растворах устанавливали рН добавлением раствора 0.1 моль/л HCl или 1.9%-ного аммиака с помощью рН-метра И-150 МИ. Отбирали 60 мл раствора для эксперимента. Остальной объем раствора использовали для определения начальной концентрации исследуемого аниона в растворе.

В экспериментах по статике сорбции в серию пластиковых герметичных контейнеров с винтовой пробкой вносили навески 50 мг $Al_2O_3\|C$ и аликвоты 60 мл исследуемого раствора. После перемешивания растворы с сорбентом выдерживали 21 сут для достижения равновесных значений сорбции. Затем растворы фильтровали через бумажный фильтр "синяя лента", в фильтрате определили массовую концентрацию одного из определяемых микроэлементов [Cr(VI), W(VI), Se(IV), Mo(VI)] методом атомно-эмиссионной спектроскопии (ИСП-AЭС) на спектрометре Optima 8000 (Perkin Elmer). Затем измеряли равновесное значение рН исследуемых растворов.

Контроль стабильности физико-химического состояния анионов в растворе вели с помощью записи спектров поглощения и определения оптической плотности исследуемых растворов в области поглощения анионов на спектрофотометре UV-1900i (Shimadzu). Было экспериментально отмечено, что длительная выдержка рабочих растворов в пластиковых контейнерах на свету приводила к слабому изменению спектров поглошения анионов Cr(VI), W(VI). На рис. 1 показан пример спектров поглощения раствора вольфрамата натрия измеренных при разном времени время экспозиции (t) в условиях естественного лабораторного освещения. Полосу поглошения при 300-325 нм относят к переносу заряда в цепочках W-O-W изополивольфрамат-иона(VI) и вместе с полосами при 220 и 264 нм отмечают в растворах как свидетельство образования декавольфраматаниона [34–36]. Низкая интенсивность этих полос поглощения при общей концентрации вольфрама в диапазоне 1-10 мкмоль/л говорит об отсутствии заметной доли изополивольфрамат-анионов в исследуемых рабочих растворах в диапазоне рН 6-11 [35-37]. Это согласуется с выводами работы [37] о том, что в водных растворах с концентрацией вольфрамата менее 30 мкмоль/л возможно присутствие только частиц состава HWO_4^- , H_2WO_4 , $W_4O_{14}(OH)_2^{4-}$. Учитывая полученные данные и сведения о влиянии внешнего светового облучения растворов вольфраматов на его химическое состояние, мы провели сорбционные эксперименты в двух сериях – при лабораторном освещении (на свету) и без доступа видимого света (в темноте). В случае незначимых (менее 10% измеряемой величины) различий в спектрах поглощения данные двух серий результаты измерения аналитической концентрации металла аниона объединяли в общую статистическую выборку.

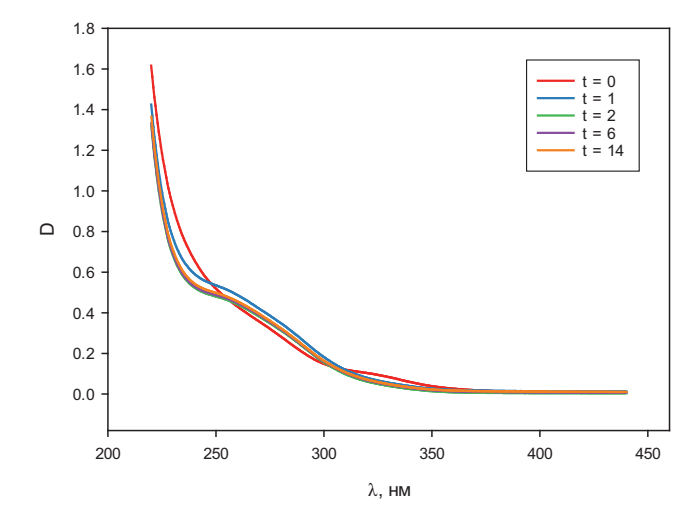


Рис. 1. Спектры поглощения раствора Na_2WO_4 —HCl, полученные в процессе хранении раствора на свету в воздушносухой атмосфере при разном времени экспозиции t (сут). pH 6.02, начальная концентрация W(VI) 1.0 ммоль/л, NaCl-0.01 моль/л, температура 23° C, спектры сняты относительно дистиллированной воды.

Для установления закона распределения в экспериментах с переменной концентрацией аниона в растворе в серию пластиковых герметичных контейнеров с пробкой вносили объем V = 60 мл исследуемого раствора, содержащего отдельно анионы Cr(VI), W(VI), Se(IV), Mo(VI) с различной концентрацией при начальном рН раствора 5.0. Затем в контейнеры вносили навески m = 50.0 мг сорбента. Полученные суспензии раствора с сорбента выдерживали на свету/в темноте в течение 21 сут. Затем контейнеры вскрывали, растворы фильтровали через бумажный фильтр, определяли рН раствора и массовую концентрацию элемента аниона методом ИСП-АЭС. По результатам экспериментов вычисляли равновесную концентрацию аниона в растворе ($C_{\rm aq}$, ммоль/л) и в сорбенте ($C_{\rm s}$, ммоль/г), находили их отношение, соответствующее коэффициенту распределения $K_{\rm d}$ (мл/г) в условиях выполнения закона Генри (степень реализации сорбционной емкости близка к нулю):

$$K_d = C_s / C_{aa}. (1)$$

На рис. 2 приведены изотермы сорбции анионов в исследуемых растворах. В связи с сильным влиянием химической растворимости композитов в кислых средах мы ограничили диапазон изменения кислотности равновесными рН 6.5—7.5.

РЕЗУЛЬТАТЫ И ИХ ОБСУЖДЕНИЕ

Мы использовали уравнение изотермы Лэнгмюра для монофункционального сорбента в виде

$$C_s = K_d \cdot C_{aq} / (1 + B \cdot C_{aq});$$

 $C_s / C_{aq} = K_d / (1 + B \cdot C_{aq}), \quad Q = K_d / B,$ (2)

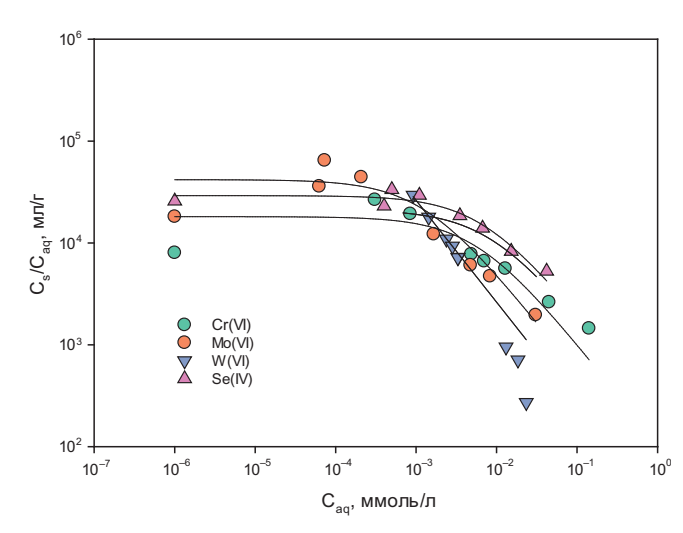


Рис. 2. Изотермы сорбции анионов композитом $Al_2O_3\|C$, полученные при переменной концентрации аниона в растворе, уравнения (1), (2). Время экспозиции t = 21 сут. pH 6.5–9.05. 23°C. Посуда — стеклянные стаканы из темного стекла.

где B — параметр сорбционной специфичности (л/ммоль), связанный с сорбционной емкостью композита (Q, ммоль/г). Логарифмическая форма уравнения (2) позволяла оценить область концентрации отдельных анионов, отвечающих закону Генри (1) в условиях эксперимента. Как следует из данных рис. 2, эти условия выполняются, когда концентрация анионов в равновесном растворе менее 1-10 мкмоль/л, справедлива гипотеза о неизменной емкости сорбента в процессе эксперимента и можно вести речь о поверхностном комплексообразовании с участием оксида алюминия без учета его растворимости [38—40].

Влияние химического состава раствора на изменение равновесного состояния ионных и коллоидных частиц из анионов CrO_4^{2-} , MoO_4^{2-} , WO_4^{2-} , SeO_3^{2-} мы оценивали с помощью программы HSC Chemistry 8. Из рассчитанных диаграмм ионных равновесий (рис. 4) следует, что в области химической устойчивости аморфного оксида алюминия

композита (pH > 5 [32]) основное участие в сорбции анионов и формировании общего коэффициента распределения ($K_{\rm d}$) принимают частицы простого и протонированного анионов. Для W(VI) вклад в общий набор анионов вносят изополианионы состава $HW_{10}O_{21}^{5-}$, доминирующие в узком диапазоне pH 4.5–5.5. По другим данным, в выбранной области pH возможно присутствие частиц HWO_4^- , H_2WO_4 , $W_4O_{14}(OH)_2^{4-}$ [37].

Для моделирования сорбционных процессов мы использовали 2-рK модели поверхностного комплексообразования анионов. Это позволяло учесть весь состав сорбционных центров $Al-O^-$, $Al-HO^0$ и $Al-OH_2^+$ с участием молекул химически сорбированной воды [39–47] в предположении нерастворимого сорбента, неизменной структуры, степени заполнения и состава двойного электрического слоя поверхности композита. Изотермы сорбции аниона MO_n^{2-} (CrO_4^{2-} , MoO_4^{2-} , WO_4^{2-} , SeO_3^{2-}) с переменным рН формировали, используя следующие гетерогенные равновесия с образованием внешнесферного комплекса аниона:

$$SOH+H^{+} = SOH_{2}^{+}, \quad K_{H} = \frac{\overline{[SOH_{2}^{+}]}}{\overline{[SOH][H^{+}]}}, \quad (3)$$

$$SOH = SO^{-} + H^{+}, \quad K_{OH} = \frac{[SO^{-}][H^{+}]}{[SOH]}, \quad (4)$$

$$SOH + H^{+} + MO_{n}^{2-} = SOH_{2}MO_{n}^{-},$$

$$K_{M}(1) = \frac{\overline{[SOH_{2}MO_{n}^{-}]}}{\overline{[SOH][H^{+}][MO_{n}^{2-}]}},$$
(5)

$$SO^{-} + H^{+} + MO_{n}^{2-} = SOHMO_{n}^{2-},$$

$$K_{M}(2) = \frac{\overline{[SOHMO_{n}^{2-}]}}{\overline{[SO^{-}][H^{+}][MO_{n}^{2-}]}},$$
(6)

$$G = [SOH] + [SOH_2^+] + [SO^-] =$$

$$= [SOH](1 + K_H[H^+] + K_{OH}[H^+]^{-1}),$$
(7)

Таблица 1. Параметры модели (9) сорбции анионов композитом $Al_2O_3\|C$ по механизму поверхностного комплексообразования. Абсолютная погрешность коэффициентов <45% логарифмической величины. SEE — стандартная погрешность определения, F — отношение дисперсий. $lg(K_H) = 6.9$, $log(K_{OH}) = -9.7$ [48, 49]

Анион	<i>G,</i> * ммоль/г	lg <i>K</i> _M (1) [л/ моль]	lg <i>K</i> _M (2) [л/ моль]	$\lg K_{ m H}$	$\lg K_{ m OH}$	F*	$\lg K_1$ [л/моль]	$\lg K_{1,T} \left[\pi / \right]$ моль	SEE*
CrO_4^{2-}	0.355	11.8	14.8	7.9	-12.0	5	6.9	6.50	0.31
MoO_4^{2-}	0.099	12.3	16.9	7.3	-13.8	40	4.5	3.70	0.13
WO_4^{2-}	0.077	11.5	14.5	6.0	-9.5	93	0.8	4.60	0.24
SeO_3^{2-}	0.290	15.5	13.3	9.9	-5.8	22	7.90	8.50	0.34
Уравнение регрессии $Y = b[0] + b[1]X$		$b[0] = 0.88 \pm 1.10$			$b[1] = 0.94 \pm 0.20$				1.28

Значком (*) отмечены абсолютные значения величин.

$$M^{tot} = [MO_{n}^{2-}] + [HMO_{n}^{-}] + [H_{2}MO_{n}^{0}];$$

$$[MO_{n}^{2-}](1 + K_{1}[H^{+}])$$

$$f_{MO4} = 1/(1 + K_{1}[H^{+}]),$$

$$f_{HM4} = K_{1}[H^{+}]/(1 + K_{1}[H^{+}]),$$

$$K_{d} = \frac{[SOH_{2}MO_{4}^{-}] + [SOHMO_{4}^{2-}]}{[MO_{4}^{2-}] + [HMO_{4}^{-}] + [H_{2}MO_{4}^{0}]} \simeq$$

$$\simeq \frac{[SOH_{2}MO_{n}^{-}] + [SOHMO_{n}^{2-}]}{[MO_{n}^{2-}] + [HMO_{n}^{-}]} =$$

$$= \frac{K_{M}(1)G[H^{+}] + K_{M}(2)K_{OH}G}{(1 + K_{1}[H^{+}])(1 + K_{H}[H^{+}] + K_{OH}[H^{+}]^{-1})}.$$
(8)

Здесь в квадратных скобках указаны мольные концентрации химических компонентов в растворе и в композите (черта сверху), $K_{\rm H,OH}$ — константы протонирования и протолиза функциональных групп композита, $K_{\rm M}(1,2)$ — константы поверхностного комплексообразования анионов, G — сорбционная емкость композита по аниону, $K_{\rm 1}$ — первая константа протонирования аниона в растворе электролита, $M^{\rm tot}$ — общая концентрация водородных ионов в растворе, символы MO_n^{2-} , HMO_n^{-} означают состав анионов в растворе, n=4 (Cr, Mo, W) или 3 (Se). Используя логарифмическую форму уравнения (9), мы оценили параметры модели сорбционного взаимодействия анионов с учетом реакции протонирования. Результаты оценки по методу наименьших квадратов приведены в табл. 1. Линии на рис. 3 у точек представляют собой регрессионные кривые, построенные по результатам моделирования.

Подтверждением правильности выбранной модели можно считать совпадение найденных

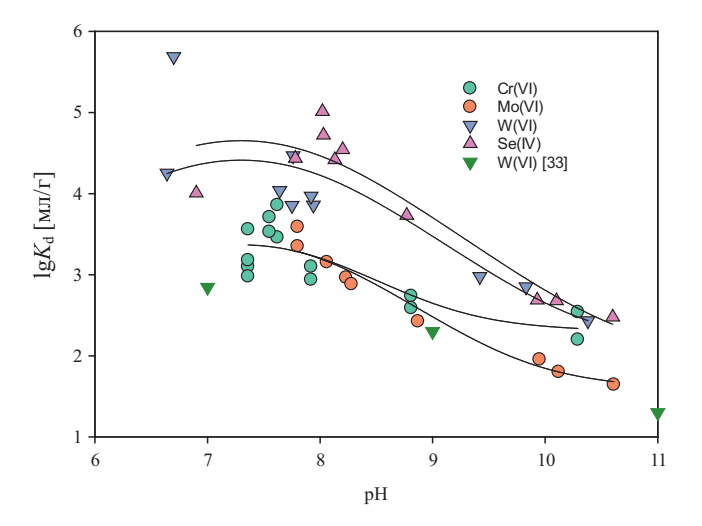


Рис. 3. Изотермы сорбции анионов композитом $Al_2O_3\|C$, полученные на свету и в темноте при переменной концентрации ионов водорода в растворе. Время экспозиции t=21 сут. $23^{\circ}C$. Посуда — пластиковые герметичные контейнеры.

из эксперимента (Y) и термодинамических (X) величин первой константы протонирования аниона K_1 по уравнениям (8), (9), рис. 5 и табл. 1.

Из данных табл. 1, 2 мы видим, что константы протонирования и протолиза функциональных групп композита с учетом статистической погрешности оценивания не одинаковы для сорбционных систем с разными по своей природе кислородными анионами. Как отмечено в работе [50], причиной этого может быть присутствие в сорбционной системе фонового электролита, конкурентная сорбция которого изменяет поверхностный потенциал сорбента. Вследствие этого адсорбция противоиона способна влиять на адсорбцию коионов, увеличивая адсорбцию за счет образования ионных пар [50]. При этом вычисленные средние значения констант протонирования и протолиза для анионов с литературными данными для кристаллической у-Al₂O₃ различаются в значительно меньшей степени (табл. 2).

Таблица 2. Сравнение кислотно-основных параметров модели (9) сорбции анионов композитом $Al_2O_3\|C$ по механизму поверхностного комплексообразования. SEE — стандартная погрешность определения

Оценка по (9)	Среднее	SEE	γ-Al ₂ O ₃ [48, 49]
$\lg(K_{\mathrm{H}})$	8.0	1.3	6.9
$\lg(K_{\mathrm{OH}})$	-10.7	3.9	-9.7

Приведенные выше результаты позволяют заключить, что выбранное в экспериментах время экспозиции обеспечивает установление сорбционного равновесия в системе и модель (9) адекватна полученным экспериментальным данным. Влияние степени освещенности раствора на состояние ионов в первом приближении можно не учитывать. Результаты моделирования говорят о том, что механизм сорбционного взаимодействия анионов с сорбционными центрами композита осуществляется при участии протона в виде протонированного аниона (рис. 6). Это взаимодействие определяется соотношением кислотно-основных свойств центра и аниона (рис. 6, 7). На нейтральных центрах $\{-SOH^0\}$ константы поверхностного комплексообразования анионов возрастают по мере ослабления силы кислоты сорбируемого аниона и увеличения константы протонирования аниона K_1 (рис. 6). На основных центрах $\{-SO^-\}$ наблюдается противоположная картина: наибольшее сродство к центру проявляют анионы с наименьшей константой протонирования аниона K_1 , т.е. анионы более сильных кислот: MoO_4^{2-} , WO_4^{2-} .

Одним из показателей коллоидно-химической активности частиц композита, характеризующих его кислотно-основные свойства, служит величина поверхностного заряда частиц и ее изменение с рН. Поверхностный заряд для всех кристаллических форм оксида алюминия изменяется с рН единообразно [44, 46]: ниже рН изоэлектрической точки (α -Al₂O₃ 8.4—9.4, γ -Al₂O₃ 7.8—9.7) наблюдается компенсация

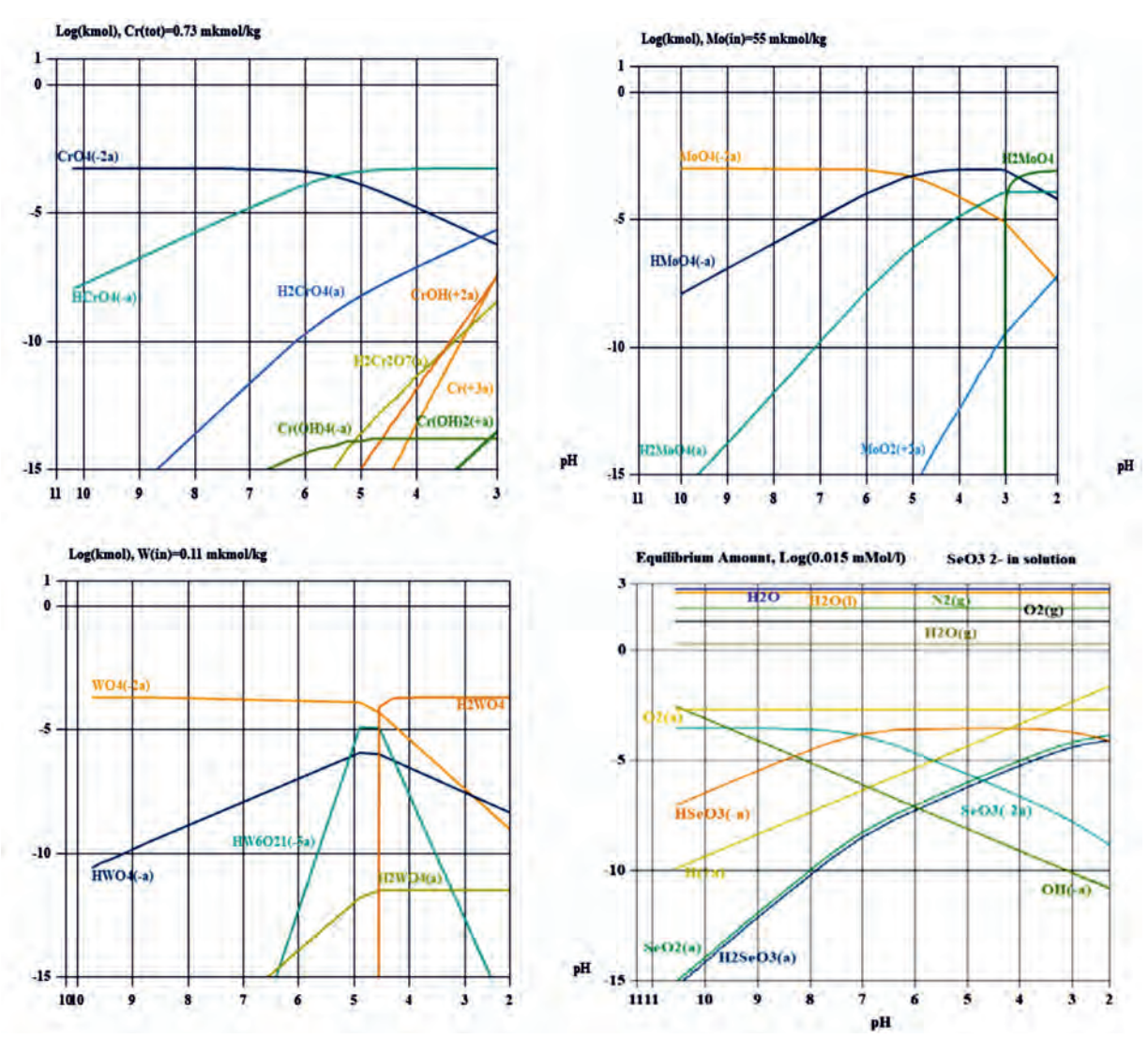
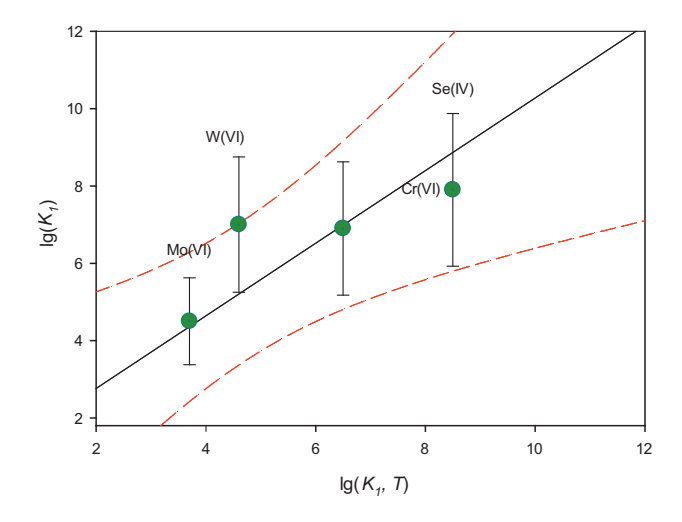


Рис. 4. Результаты моделирования термодинамических равновесий в исследуемых растворов анионов (программа HSC Chemistry 8). Оси абсцисс - pH, ось ординат - lg(A), где A - равновесная концентрация простых кислородных анионов Cr(VI), Mo(VI), W(VI), Se(IV) в растворе, мкмоль/кг. Равновесные концентрация в сорбционных экспериментах составляли (мкмоль/ π): Cr(VI) 0.1-10, Mo(VI) 10-60, W(VI) 0.1-10, Se(IV) 0.01-1.0. Температура 23°C.

поверхностного заряда за счет адсорбции протонов, и эти процессы сопровождаются началом растворения поверхности оксида алюминия [30, 39, 40]. На рис. 7 приведены изотермы зависимости ζ -потенциала частиц композита от рН раствора электролита, полученные для различного времени экспозиции суспензии. Видно, что время контакта раствор—сорбент играет существенную роль как в величине электрокинетического потенциала, так и зависимости его от рН. Из данных рис. 7 следует, что процессы установления гетерогенных равновесий с участием поверхности композита завершаются на 21-е сутки, и ζ -потенциал приближается к нулю в области рН преобладания нейтральных сорбционных центров Al—OH 0 .

В целом полученные результаты показывают высокое сорбционное сродство композита ко всей группе исследуемых анионов. Наибольшее значение $K_{\rm d}$

обнаружено для анионов Se(IV) и W(VI) (рис. 2, 3). Область сорбции Генри для этих анионов находится при концентрациях менее 1 мкмоль/л. Особое поведение W(VI) проявляется в стремлении к образованию анионов изополикислот даже при предельно низких концентрациях. Это способствует увеличению коэффициента распределения W(VI) в области рН 5-6 (рис. 2), а также росту времени, необходимого для установления зарядового и сорбционного равновесия в системе. При сравнении величины $K_{\rm d}$ для сорбции W(VI) исследуемым композитом с данными для кристаллов γ -Al₂O₃ [33] видно, что композит проявляет на порядок большее сорбционное сродство к анионам MO_n^{2-} $(CrO_4^{2-}, MoO_4^{2-}, WO_4^{2-}, SeO_3^{2-})$. Таким образом, данный композит можно отнести к сорбентам коллективного действия, способным эффективно концентрировать из разбавленных растворов как катионы d-, f-элементов [13, 32], так и кислородные анионы d-элементов.



22 $K_{M}(1)$, {SOH₂MO_n} 20 $K_M(2)$, {SOHMO₀}² 18 $g(K_M 1, 2)$ 16 Mo(VI) Se(IV) 14 Cr(VI) W(VI) 12 10 3 6 $lg(K_{1T})$

Рис. 5. Сравнение найденных по уравнению (9) констант протонирования (8) кислородных анионов $\operatorname{CrO}_4^{2-}$, $\operatorname{MoO}_4^{2-}$, WO_4^{2-} , $\operatorname{SeO}_3^{2-} K_1$ с термодинамическими величинами первой константы протонирования аниона $K_{1,T}$ [51]. Темная линия — уравнение регрессии, пунктир — границы 90%-ного доверительного интервала.

Рис. 6. Соотношение кислотно-основных свойств сорбционных центров ($-SOH^0$), ($-SO^-$) композита $K_M(1,2)$ и константы протонирования аниона K_1 .

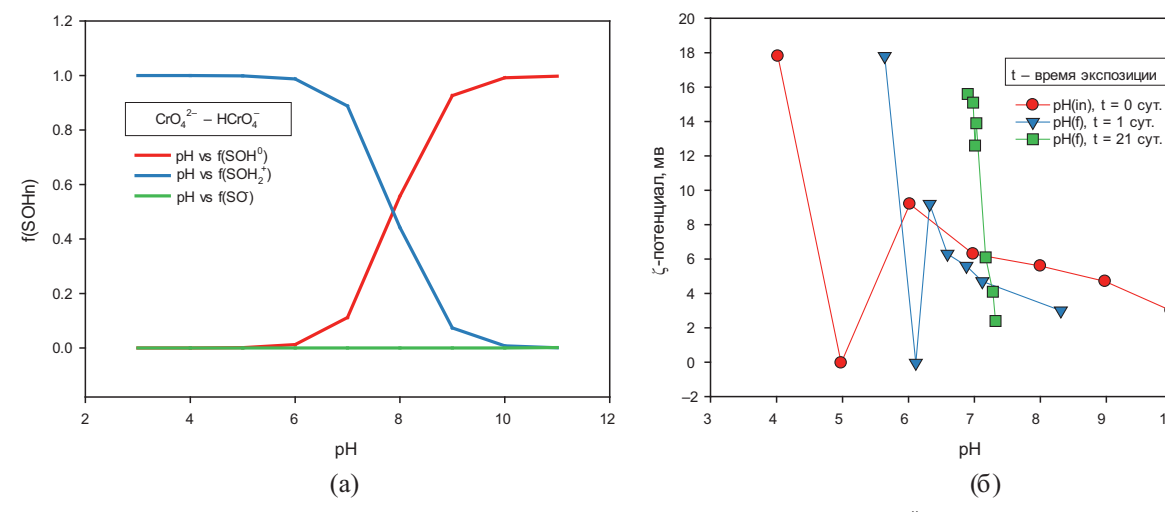


Рис. 7. а — Пример соотношения кислотно-основных центров (—SOHn) композита $Al_2O_3\|C$ в зависимости от pH по результатам моделирования сорбции анионов CrO_4^{2-} с концентрацией 0.1-10 мкмоль/л, t=21 сут. б — Зависимость ξ -потенциала суспензии композит $Al_2O_3\|C$ —раствор NaCl от pH при 23°C. pH(in) — начальный pH раствора, pH(f) — pH раствора к времени t.

ФИНАНСИРОВАНИЕ РАБОТЫ

Работа выполнена по планам бюджетных тем 124020600007-8 и FUWF-2024-0012.

КОНФЛИКТ ИНТЕРЕСОВ

Авторы заявляют об отсутствии конфликта интересов.

СПИСОК ЛИТЕРАТУРЫ

1. *Москвин Л.Н., Гумеров М.Ф., Ефимов А.А., Красноперов В.М., Леорнтьев Г.Г., Мельников В.А.* // Методы химического и радиохимического контроля в ядерной

- энергетике. Сб. статей / Под ред. Л.Н. Москвина. М.: Энергоатомиздат, 1989. С. 264.
- 2. Marty N.C.M., Grangeon S., Elkaïm E., Tournassat Ch., Fauchet C., Claret F. // Sci. Rep. 2018. Vol. 8. P. 7943.
- Zhang H., Wang J., Wu W., Luo M., Hua R., Zhou Zh., Ling H. // J. Radioanal. Nucl. Chem. 2024. Vol. 333. P. 2273.
- 4. Tárkányi F., Hermanne A., Ignatyuk A.V., Ditrói F., Takács S., Capote Noy R. // J. Radioanal. Nucl. Chem. 2024. Vol. 333. P. 717.
- 5. Koutsospyros A., Braida W., Christodoulatos C., Dermatas D., Strigul N. // J. Hazard. Mater. 2006. Vol. 136. P. 1.

- 6. Вольхин В.В., Егоров Ю.В., Белинская Ф.А., Бойчинова Е.С., Малофеев Г.Н. // Неорганические сорбенты: Сб. статей / Под ред. М.М. Сенявина. М.: Наука, 1981. 271 с.
- 7. Зелинский Н.Д., Садиков В.С. Уголь, как средство борьбы с удушающими и ядовитыми газами: Экспериментальное исследование 1915—1916 гг. М.: АН СССР, 1941. 131 с.
- 8. Wei X., Huang T., Yang J.H., Zhang N., Wang Y., Zhou Z.W. // J. Hazard. Mater. 2017. Vol. 335. P. 28.
- Erto A., Giraldo L., Lancia A., Moreno-Pirajan J.C. // Water Air Soil Pollut. 2013. Vol. 224. P. 1531.
- 10. Abdel Salam O.E., Reiad N.A., ElShafei M.M. // J. Adv. Res. 2011. Vol. 2. P. 297.
- 11. *Salam M.A.* // Int. J. Environ. Sci. Technol. 2013. Vol. 10. P. 677–688.
- 12. Yamaguchi D., Furukawa K., Takasuga M., Watanabe K. // Sci. Rep. 2014. Vol. 4. P. 6053.
- 13. Krasil'nikov V.N., Linnikov O.D., Gyrdasova O.I., Rodina I.V., Tyutyunnik A.P., Baklanova I.V., Polyakov E.V., Khlebnikov N.A., Tarakina N.V. // Solid State Sci. 2020. Vol. 108. ID 106429.
- Elgazzar A.H., Mahmoud M.S.A., El Sayed A.A., Saad E.A. // J. Radioanal. Nucl. Chem. 2020. Vol. 326. P. 1733–1748.
- 15. Benjamin M.M., Bloom N.S. // Adsorption from Aqueous Solutions / Ed. P.H. Tewari. New York: Plenum, 1981. P. 41.
- 16. *Bhutani M.M., Mitra A.K., Kumari R. //* Microchim. Acta. 1992. Vol. 107. P. 19.
- 17. Yu T., Liu B., Liu J. // J. Anal. Test. 2017. Vol. 1. P. 2.
- Hou Z., Shi K., Wang X., Ye Y., Guo Zh., Wangsuo W. // J. Radioanal. Nucl. Chem. 2015. Vol. 303. P. 25.
- Fan Q., Li P., Pan D. // Interface Sci. Technol. 2020.
 Vol. 29. P. 1.
- 20. Kumar E., Bhatnagar A., Hogland W., Marques M., Sillanpää M. // Chem. Eng. J. 2014. Vol. 241. P. 443.
- 21. *Кулемин В.В., Красавина Е.П., Горбачева М.П., Румер И.А., Бессонов А.А., Крапухин В.Б., Кулюхин С.А.* // Радиохимия. 2021. Т. 63. № 5. С. 484.
- 22. Islam M.A., Morton D.W., Johnson B.B., Pramanik B.K., Mainali B., Angove M.J. // J. Environ. Chem. Eng. 2018. Vol. 6. P. 6853.
- Poursani A.S., Nilchi A., Hassani A.H., Shariat M., Nouri J. // Int. J. Environ. Sci. Technol. 2015. Vol. 12. P. 2003.
- 24. *Tabesh S., Davar F., Loghman-Estarki M.R.* // J. Alloys Compd. 2018. Vol. 730. P. 441.
- 25. Yu J., Bai H., Wang J., Li Z., Jiao C., Liu Q., Zhanga M., Liu L. // New J. Chem. 2013. Vol. 37. P. 366.
- 26. Huang S., Pang H., Li L., Jiang S., Wen T., Zhuang L., Hu B., Wang X. // Chem. Eng. J. 2018. Vol. 353. P. 157.
- 27. Yang W., Tang Q., Wei J., Ran Y., Chai L., Wang H. // Appl. Surf. Sci. 2016. Vol. 396. P. 215.

- 28. Chen H., Luo J., Wang X., Liang X., Zhao Y., Yang C., Baikenov M.I., Su X. // Micropor. Mesopor. Mater. 2018. Vol. 255. P. 69.
- 29. Yao W., Wang X., Liang Y., Yu S., Gu P., Sun Y., Xu C., Chen J., Hayat T., Alsaedi A., Wang X. // Chem. Eng. 2018. Vol. 332. P. 775–786.
- 30. Krasil'nikov V.N., Baklanova I.V., Polyakov E.V., Volkov I.V., Khlebnikov A.N., Tyutyunnik A.P., Tarakina N.V. // Inorg. Chem. Commun. 2022. Vol. 138. ID 109313.
- 31. Поляков Е.В., Красильников В.Н., Волков И.В. Патент RU 2774876 С1, приоритет от 12.08.2021. Опубл. 23.06.2022 // Б.И. 2022. № 18.
- 32. Поляков Е.В., Волков И.В., Красильников В.Н., Иошин А.А. // Радиохимия. 2023. Т. 65. № 1. С. 70.
- 33. *Khalid M., Mushtaq A., Iqbal M.Z.* // Sep. Sci. Technol. 2001. Vol. 36. N 2. P. 283.
- 34. *Kantcheva M., Koz C.* // J. Mater. Sci. 2007. Vol. 42. P 6074
- 35. Chemseddine A., Sanchez C., Livage J., Launay J.P., Fournieric M. // Inorg. Chem. 1984. Vol. 23. N 17. P. 2609.
- 36. *Пойманова Е.Ю., Розанцев Г.М., Белоусова Е.Е., Чунтук Е.С.* // Вісн. Донецьк. нац. унів. Сер. А: Природн. науки. 2014. Т. 2. С. 126.
- 37. *Загальская Е.Ю., Розанцев Г.М., Радио С.В.* // Наук. праці ДонНТУ. Сер.: Хімія і хім. технологія. 2010. Т. 14. С. 40.
- 38. *Goldberg S.* // Soil Sci. 2010. Vol. 175. № 3. P. 105.
- 39. *Davis J.A.*, *James R.O.*, *Leckie J.O.* // J. Colloid Interface Sci. 1978. Vol. 63. № 3. P. 480.
- 40. *Davis J.A.*, *Leckie J.O.* // J. Colloid Interface Sci. 1978. Vol. 67. N 1. P. 90.
- 41. Zhang L., Li Y., Guo H., Zhang H., Zhang N., Hayat T., Sun Y. // Environ. Pollut. 2019. Vol. 248. P. 332.
- 42. Bolt G.H., De Beodt M.F., Hayes M.H.B., McBride M.B. Interactions at the Soil Colloid—Soil Solution Interface. Ghent: Springer Science + Business Media, 1991. 602 p.
- 43. *Marmier N., Dumonceau J., Fromage F. //* J. Contam. Hydrol. 1997. Vol. 26. P. 159–167.
- 44. *Huang Sh.*, *Pang H.*, *Li L.*, *Jiang Sh.*, *Wang X.* // Chem. Eng. J. 2018. Vol. 3531. P. 157.
- 45. *Tan X.*, *Ren X.*, *Li J.*, *Wang X.* // Surfaces. RSC Adv. 2013. Vol. 3. P. 19551.
- 46. *Kasprzyk-Hordern B.* // Adv. Colloid Interface Sci. 2004. Vol. 110. P. 19.
- 47. *Yiacoumi S., Tien Ch.* Kinetics of Metal Ion Adsorption from Aqueous Solutions. Models, Algorithms, and Applications. New York: Springer Science + Business Media, 1995. 221 p.
- 48. *Missana T., Garcia-Gutierrez M.* // Phys. Chem. Earth. 2007. Vol. 32. P. 559.
- 49. *Mayordomo N., Alonso U., Missana T.* // Appl. Geochem. 2019. Vol. 100. P. 121.

- 50. *Tewari P.H.* Proc. Symp. on Adsorption from Aqueous Solutions. Meet. of the Am. Chem. Soc., Division of Colloid and Surface Chemistry (Houston, Texas). New York: Plenum, 1980, 248 p.
- 51. *Kotrly S., Sucha L.* Handbook of Chemical Equilibria in Analytical Chemistry. Chichester: Horwood, 1985. 252 p.

Sorption Statics of Cr(VI), Mo(VI), W(VI), Se(IV) Oxygen Anions by Nanostructured $Al_2O_3\|C$ Composite

E. V. Polyakov*, V. N. Krasilnikov, I. V. Volkov, and A. A. Ioshin

Institute of Solid State Chemistry of the Ural Branch of the Russian Academy of Sciences, 620108, 91 Pervomayskaya st., Ekaterinburg, Russia.

*e-mail: polyakov@ihim.uran.ru

Received June 20, 2024; revised June 20, 2024; accepted August 12, 2024

By the methods of thermodynamic modeling, sorption diagnostics, analysis of particle zeta-potential, and UV-Vis spectrometry the equilibrium conditions of sorption interaction of $\text{CrO}_4^{2^-}$, $\text{MOQ}_4^{2^-}$, $\text{WO}_4^{2^-}$, $\text{SeO}_3^{2^-}$ oxygen anions in the region of chemical stability of $\text{Al}_2\text{O}_3\|\text{C}$ composite have been analyzed. The anion sorption isotherms are shown to follow the Langmuir model for a monoenergetic sorbent. The Henry region is observed at concentrations less than 1 μ mol/L. According to the established mechanism of surface complexation, the value of anions protonation constant (K_1) in the investigated pH range determines the sorption activity of the composite to these anions. This explains the correlation found between the ratio of parameters of acid—base sites $\{\text{Al}-\text{O}^-\}$, $\{\text{Al}-\text{HO}^0\}$, and $\{\text{Al}-\text{OH}_2^+\}$ of composite $K_{\text{M}}(1,2)$ and the protonation constant of anion K_1 . It is shown that the $\text{Al}_2\text{O}_3\|\text{C}$ composite exhibits the properties of collective action sorbent, concentrating from dilute solutions both cations of d-, f-elements and oxygen anions of d-elements with the value of $\text{log} K_{\text{d}}$ [mL/g] > 4.

Keywords: $Al_2O_3\|C$, composite, CrO_4^{2-} , MoO_4^{2-} , WO_4^{2-} , SeO_3^{2-} anions, sorption statics, acid—base properties, surface complexation